

بررسی رفتار خستگی قطعات آلیاژ اینکونل ۶۲۵ تولیدشده با فرایند ساخت افزایشی مبتنی بر سیم و قوس الکتریکی*

مقاله پژوهشی

قاسم پیروزمینش^(۱) محمود شریفیتبار^(۲) مهدی شفیعی آفرانی^(۳)

چکیده

در این پژوهش دیواره آلیاژ اینکونل ۶۲۵ با فرایند ساخت افزایشی مبتنی بر سیم و قوس تولید شد. سپس ریزساختار، سختی، خواص کششی در دمای محیط و دمای ۷۰۰ درجه سلسیوس و استحکام خستگی در محدوده پرچرخه در دو راستای جوشکاری و رسوبدهی بررسی شد. مطالعات ریزساختاری نشان داد که دیواره حاوی دندریت‌های محلول جامد و فازهای بین‌دندریتی کاربید نیوبیوم، لاوه و دلتا (Ni_3Nb) بود. با افزایش ارتفاع دیواره مقدار سختی از محدوده ۳۸۰ ویکرز در نزدیکی زیرلایه تا حدود ۳۰۰ ویکرز در بالای آن کاهش یافت. استحکام تسلیم و کششی دیواره تولیدی در راستای جوشکاری به ترتیب در حدود ۶/۶ و ۸/۶ درصد بالاتر و قابلیت تغییر طول ۲۳ درصد کمتر از خواص دیواره در راستای رسوب‌گذاری به دست آمد. نتایج آزمون خستگی با نسبت تنش ۰/۱ نشان داد که میانگین تعداد سیکل منجر به شکست آلیاژ در راستای جوشکاری بالاتر از راستای رسوب‌گذاری بود. شکست‌نگاری نمونه‌ها جوانه‌زنی سطحی ترک خستگی را نشان داد و تولید دیواره‌های سالم و بدون عیب با فرایند ساخت افزایشی مبتنی بر سیم و قوس را تأیید کرد.

واژه‌های کلیدی اینکونل ۶۲۵، خستگی سیکل بالا، ساخت افزایشی، کشش دمابالا

Fatigue Properties of Inconel 625 Alloy Parts Manufactured by Wire Arc Additive

Manufacturing Method

G. Pirouzmanesh

M. Sharifitabar

M. Shafiee Afarani

Abstract

In the present study, Inconel 625 alloy walls were fabricated by wire arc additive manufacturing method. Microstructure, hardness, tensile properties at room temperature and 700 °C, and high-cycle fatigue strength in both welding and building directions of samples were evaluated. The microstructure of the wall contained dendritic Ni-based solid solution along with MC carbide, Laves, and delta inter-dendritic phases. Moreover, the Vickers hardness value decreased from 380 HV near the substrate to 300 HV in the top layer. Also, yield and tensile strengths along the welding direction were 6.6 and 8.6% higher and the elongation was 23% lower than the building direction, respectively. Furthermore, fatigue test results with the stress ratio of 0.1 showed that the number of cycles to failure was slightly higher in the welding direction. Fractography of the samples illustrated that all fatigue cracks initiated from the surface. This confirmed the soundness of the walls manufactured by this method.

Key words Inconel 625; high-cycle fatigue; Additive manufacturing; high-temperature strength.

* تاریخ دریافت مقاله ۹۹/۱۰/۳۰ و تاریخ پذیرش آن ۰۰/۱/۲۱ می‌باشد.

(۱) کارشناس ارشد، گروه مهندسی مواد، دانشگاه سیستان و بلوچستان، زاهدان، ایران

Email: msharifitabar@eng.usb.ac.ir

(۲) نویسنده مسئول: استادیار، گروه مهندسی مواد، دانشگاه سیستان و بلوچستان، زاهدان، ایران.

(۳) استاد، گروه مهندسی مواد، دانشگاه سیستان و بلوچستان، زاهدان، ایران.

مقدمه

کاربردهای دمابالا استفاده می‌شود [17-19]. تاکنون تحقیقات مختلفی در زمینه بررسی خواص قطعات تولیدشده از جنس این آلیاژ به وسیله فرایندهای ساخت افزایشی مانند ذوب بستر پودر با لیزر [20]، پلاسما [19] و جوشکاری GTAW [21] انجام شده است. با مقایسه نتایج این تحقیقات می‌توان دریافت که تغییر در نوع فرایند تولید سبب تغییر شدید در خواص مکانیکی قطعات تولیدی شده است. اخیراً صفرزاده و همکاران [18] تأثیر عملیات حرارتی بر ریزساختار و خواص مکانیکی دیواره‌های تولیدی از جنس اینکونل ۶۲۵ با فرایند ساخت افزایشی GMAW را بررسی کردند. آن‌ها نشان دادند که تغییر متغیرهای فرایند و همچنین انجام عملیات حرارتی همگن‌سازی و پیرسازی سبب تغییر قابل توجه در ریزساختار و خواص مکانیکی دیواره شد. در ادامه پژوهش مذکور، رفتار خستگی و کشش دمابالای دیواره‌های تهیه‌شده در شرایط پس از تولید و بدون انجام عملیات حرارتی بررسی شد که نتایج آن در این مقاله ارائه شده است.

مواد و روش تحقیق

مواد. به منظور تولید دیواره‌های آلیاژ اینکونل ۶۲۵، سیم جوش Ni-Cr-Mo₃ با قطر ۰/۸ میلی‌متر ساخت شرکت ESAB خریداری شد. همچنین ورقی از جنس فولاد زنگ‌نزن ۳۰۴ به ابعاد ۴×۲۰×۴۰۰ میلی‌متر مکعب نیز به‌عنوان زیرلایه به‌کار رفت. برای جلوگیری از ورود ناخالصی‌ها به دورن حوضچه مذاب، سطح زیرلایه کاملاً تمیز و خشک شد. ترکیب شیمیایی زیرلایه، سیم‌جوش و ترکیب شیمیایی اینکونل ۶۲۵ مطابق استاندارد ASTM B443 در جدول (۱) آمده است [22].

ساخت دیواره‌ها. رسوب‌گذاری لایه‌لایه مذاب برای ساخت دیواره‌ها با دستگاه جوشکاری قوسی و الکتروود فلزی و گاز محافظ ساخت شرکت جوشا (Jousha S-MIG-303C) با قطبیت معکوس انجام شد. متغیرهای انتخابی برای فرایند جوشکاری در جدول (۲) ذکر شده است. این متغیرها بر اساس پژوهش پیشین همین گروه تحقیقاتی انتخاب شد

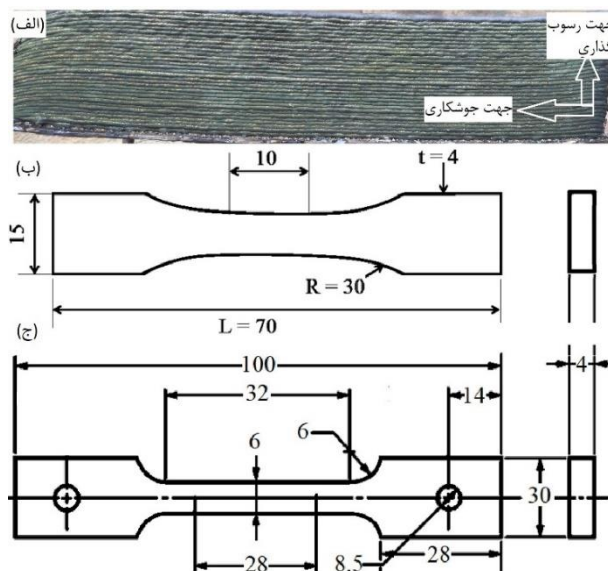
فرایند ساخت افزایشی یکی از روش‌های نوین تولید قطعات مختلف مهندسی از جنس پلیمرها، سرامیک‌ها و فلزات است [10-1]. در این فرایند معمولاً قطعه از طریق رسوب‌گذاری لایه روی لایه ماده مدنظر و براساس مدلی سه‌بعدی ساخته می‌شود [۲، ۳، ۵]. به‌منظور ساخت قطعات فلزی از یک منبع حرارتی مانند لیزر، پرتو الکترونی یا قوس الکتریک برای ذوب و اتصال مواد بهره گرفته می‌شود [1-11,9,6,5,3].

ماده اولیه فلزی به‌صورت پودر یا سیم به محل مدنظر تغذیه می‌شود. امروزه ذوب بستر پودر از طریق پرتوهای پرانرژی لیزر و الکترونی به‌عنوان رایج‌ترین روش‌های تولید قطعات ساخت افزایشی شناخته می‌شود [2,12,13]. کیفیت بالای سطحی قطعات، امکان تولید قطعات پیچیده و ساختار مناسب نهایی قطعات پس از تولید از جمله مهم‌ترین مزایای این فرایندهاست؛ اما نرخ پایین رسوب‌گذاری مهم‌ترین محدودیت آن‌هاست [14]. برای برطرف کردن این محدودیت می‌توان از روش‌های جایگزین مانند روش‌های جوشکاری قوسی با الکتروود فلزی و گاز محافظ (GMAW)، جوشکاری قوسی با الکتروود تنگستنی و گاز محافظ (GTAW) و جوشکاری پلاسما (PAW) با نرخ رسوب بسیار بالا استفاده کرد [14]. این روش‌ها به‌علت استفاده هم‌زمان از قوس و سیم با عنوان روش‌های ساخت افزایشی مبتنی بر سیم و قوس نامیده می‌شوند. از بین آن‌ها، روش GMAW به‌دلیل نرخ رسوب بسیار بالا و حفاظت حوضچه با گاز محافظ برای تولید آلیاژهای مختلف استفاده شده است [15,16]. باید خاطر نشان کرد که علاوه بر دقت ابعادی پایین و کیفیت سطحی کم، حرارت ورودی بالا از مهم‌ترین معایب این روش است، زیرا افزایش حرارت ورودی سبب تغییر شدید ریزساختار و خواص مکانیکی قطعه تولیدی می‌شود [17,18]. بنابراین در هنگام تولید قطعات از جنس آلیاژهای مختلف با فرایند ساخت افزایشی GMAW باید خواص آلیاژ تولیدی به‌دقت بررسی شود.

از بین آلیاژهای مختلف مهندسی، اینکونل ۶۲۵ یکی از آلیاژهای پایه نیکل است که در صنایع هوافضا و نظامی برای

هر لایه در خلاف جهت لایه قبلی رسوب گذاری شد. از گاز آرگون با خلوص ۹۹/۹ درصد و دبی ۱۵ لیتر بر دقیقه برای حفاظت حوضچه و قوس الکتریک استفاده شد. شکل (۱- الف) تصویر یکی از دیواره های تولیدی را نشان می دهد.

[۱۸]. سه عدد دیواره با ارتفاع ۸۰، عرض ۷ و طول ۴۰۰ میلی متر با استفاده از ۳۲ پاس روی هم تولید شد. عرض ۷ میلی متری دیواره فقط با رسوب گذاری یک پاس جوشکاری ایجاد شد. بیشینه دمای بین پاسی ۱۵۰ درجه سلسیوس بود و



شکل ۱ الف: تصویر دیواره تولید شده از جنس آلیاژ اینکونل ۶۲۵، ب: طرح واره ابعاد نمونه های آزمون کشش و خستگی، ج: طرح واره نمونه آزمون کشش دمابالا مطابق با استاندارد [23] ASTM E21 (واحد ابعاد: میلی متر)

جدول ۱ ترکیب شیمیایی سیم جوش اینکونل ۶۲۵، زیر لایه فولاد زنگ نزن ۳۰۴ و ترکیب شیمیایی آلیاژ اینکونل ۶۲۵

مطابق با استاندارد [18] ASTM B443

عنصر	P	S	V	Fe	Ti	Al	Cu	Mo	Ni	Cr	Mn	Si	C
سیم اینکونل ۶۲۵	---	---	---	0.2	0.4	0.4	0.5	<0.5	Bal.	21.5	<0.5	<0.5	<0.1
فولاد زنگ نزن ۳۰۴	0.03	0.01	0.1	Bal.	---	0.1	0.3	0.1	8.2	18.4	1.5	0.3	0.02
ترکیب آلیاژ اینکونل ۶۲۵	---	---	---	<5.0	---	---	---	8.0-10.0	>58	20.0-23.0	<0.5	<0.5	<0.1

جدول ۲ متغیرهای فرایند جوشکاری [18]

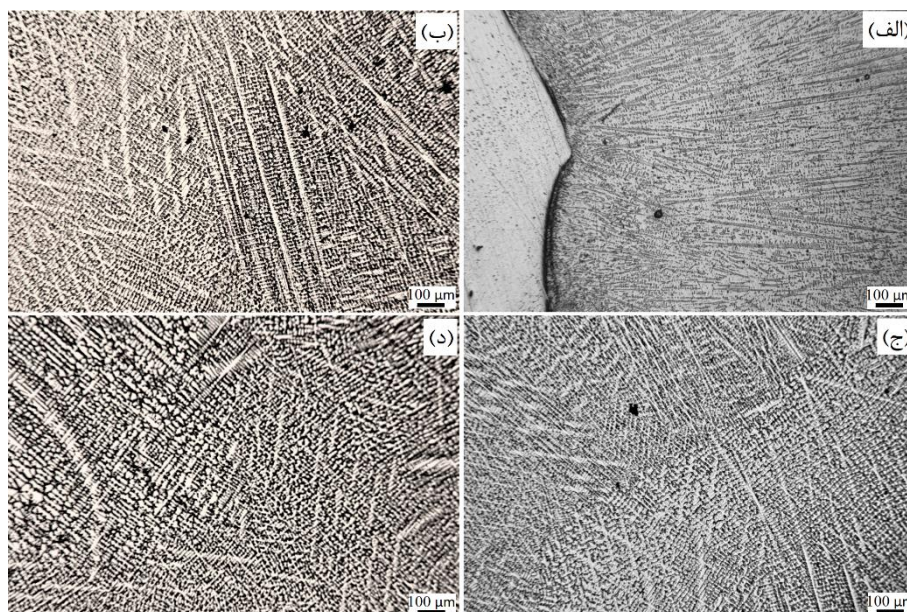
مقدار	متغیر جوشکاری
۱۰۰	جریان (آمپر)
۱۸	ولتاژ (ولت)
۴/۶	سرعت جوشکاری (میلی متر بر ثانیه)
۱۵	دبی جریان گاز (لیتر بر دقیقه)
۹/۵	سرعت تغذیه سیم (متر بر دقیقه)

پولیش شده بود. حین آزمون، تغییر دمای نمونه‌ها در قسمت سنجه با استفاده از دوربین حرارتی FLIR C3-X ثبت شد. علاوه بر این، استحکام دمابالای دیواره در دمای ۷۰۰ درجه سلسیوس در جهت جوشکاری به دست آمد. شکل (۱-ج) طرح واره نمونه کشش دمابالا مطابق استاندارد ASTM E21 را نشان می‌دهد. سرعت حرکت فک دستگاه در این آزمون ۰/۲ میلی‌متر بر دقیقه بود و قبل از شروع آزمون، هر نمونه برای هم‌دماشدن با کوره در دمای ذکر شده ۲۰ دقیقه نگهداری می‌شد. در نهایت سطح شکست تمامی نمونه‌ها با میکروسکوپ الکترونی روبشی انتشار میدانی بررسی شد.

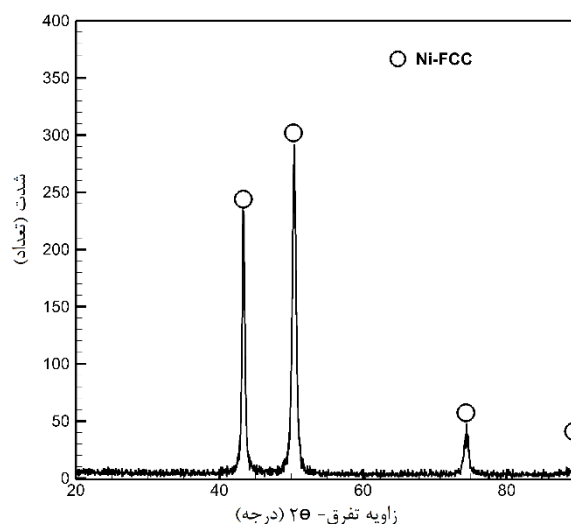
نتایج و بحث

تصویر ریزساختار بخش‌های مختلف دیواره در شکل (۲-الف) تا (۲-د) آمده است. همان‌گونه که مشاهده می‌شود، انجماد در تمامی بخش‌ها از نوع دندریتی بوده و برای رشد دندریت‌ها عمود بر زیرلایه است. میانگین فاصله بازوهای ثانویه در نزدیکی زیرلایه (شکل (۲-الف)) حدود ۶ میکرومتر به دست آمد. با افزایش ارتفاع دیواره (شکل‌های ۲-ب تا ۲-د)، فاصله بازوها بیشتر شد تا اینکه در آخرین لایه به حدود ۱۵ میکرومتر رسید. این نتایج بیانگر افزایش اندازه دانه با افزایش ارتفاع دیواره است. شکل (۲-ج) نیز نشان می‌دهد که در فصل مشترک دو لایه متوالی، برخی از دندریت‌ها به صورت رونشستی (Epitaxial) رشد کرده و اندازه آن‌ها در لایه بعدی اندکی کاهش یافته است. نوع دانه‌های حاصل از انجماد در فرایند جوشکاری به نسبت $(\frac{G}{R})$ و اندازه دانه‌ها به مقدار حاصل ضرب $G \times R$ بستگی دارد [25]. در این روابط G شیب گرادیان دمایی و R سرعت انجماد است. با افزایش $G \times R$ اندازه دانه‌ها کاهش می‌یابد. در هنگام رسوب‌دهی پاس‌های اولیه، به علت جذب گرما با زیرلایه، سرعت سردشدن بالا بوده که سبب تشکیل دندریت‌های ریز شده است. اما با افزایش ارتفاع دیواره و کاهش گرادیان دمایی و سرعت سردشدن، اندازه دندریت‌ها افزایش یافته است. شکل (۳) الگوی پراش اشعه ایکس دیواره را نشان می‌دهد. در طیف حاصل، فاز محلول جامد نیکل-کرم با ساختار مکعبی با وجوه مرکزدار (شماره کارت ۰۴۷-۱۶۱۷) به عنوان تنها فاز موجود در ساختار دیواره شناسایی شد.

بررسی ویژگی‌های دیواره‌ها. به منظور بررسی‌های ریزساختاری، آماده‌سازی اولیه سطح نمونه‌های متالوگرافی با استفاده از سنباده‌های مختلف و پرداخت نهایی با خمیر الماسه با اندازه ذرات ۱ میکرون انجام شد. سپس، آشکارسازی فازها با استفاده از فرایند حکاکی الکترولیتی در محلول تری‌اکسید کروم (۹۰ میلی‌لیتر آب و ۱۰ گرم CrO_3) به مدت ۲۰ ثانیه صورت گرفت. در نهایت، نمونه‌ها با الکل شسته و خشک شدند. تصاویر ریزساختاری با میکروسکوپ نوری مدل Olympus و میکروسکوپ الکترونی روبشی انتشار میدانی FESEM MIRA3 TESCAN تهیه شد. ترکیب شیمیایی فازها نیز با آنالیز طیف‌سنج انرژی (EDS SMAX) تعیین شد. به علاوه، برای شناسایی فازها در ساختار دیواره از آنالیز پراش پرتو ایکس (دستگاه Bruker Advanced D8) با طول موج مس در محدوده ۲۰ تا ۹۰ درجه استفاده شد. مقدار سختی در بخش‌های مختلف دیواره با دستگاه سختی‌سنج ویکرز مدل INNOVA TEST با بار اعمالی ۱ کیلوگرم و زمان آزمون ۱۰ ثانیه اندازه‌گیری شد. در هر مکان مقدار سختی در ۵ نقطه اندازه‌گیری و مقدار میانگین سختی گزارش شد. به منظور بررسی خواص کششی و خستگی، نمونه‌های کوچک با ابعاد نشان داده شده در شکل (۱-ب) با دستگاه وایرکات آماده شد. این نمونه‌ها در دو جهت مختلف از دیواره استخراج شد. در دسته اول، محور طولی نمونه‌ها در راستای جوشکاری و در دسته دوم محور طولی نمونه‌ها عمود بر جهت جوشکاری بود. در طول این مقاله خواص نمونه‌ها برای دسته دوم با عنوان راستای رسوب‌گذاری معرفی شده است. ابعاد نمونه‌ها نیز مطابق پژوهش کوتیری و همکاران انتخاب شد [24]. برای هر جهت تولید، دو نمونه با دستگاه آزمون کشش Dartec با سرعت حرکت فک ۵ میلی‌متر بر دقیقه در دمای محیط کشیده شد. سپس، بر اساس نتایج آزمون کشش، آزمون خستگی کشش با نسبت تنش ۰/۱ و فرکانس ۳۰ هرتز با دستگاه Dartec انجام شد. مقدار دامنه تنش در محدوده ۲۱۲ تا ۱۷۶ مگاپاسکال تغییر داده شد و تعداد سیکل منجر به شکست در هر نمونه اندازه‌گیری شد. شایان ذکر است که سطح تمامی نمونه‌ها قبل از انجام آزمون تا بیشینه زیری ۱ میکرومتر ($Ra = 1 \mu m$)



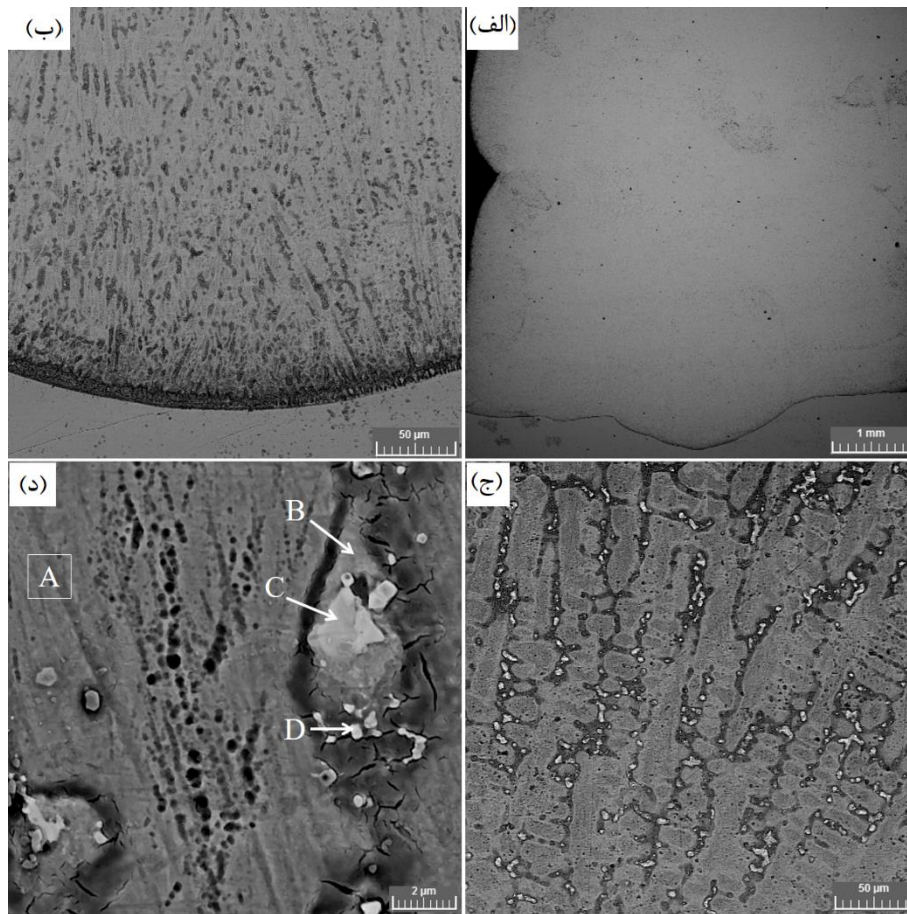
شکل ۲ ریزساختار قسمت‌های مختلف دیواره تولیدی، الف: نزدیکی زیرلایه، ب: پاس سوم، ج: فصل مشترک بین دو پاس، د: پاس نهایی



شکل ۳ الگوی پراش اشعه ایکس دیواره آلیاژ اینکونل ۶۲۵

شکل (۴-الف) تصویر میکروسکوپی الکترونی روبشی درشت‌ساختار دو لایه اول رسوب داده شده به همراه زیرلایه را نشان می‌دهد. این تصویر نشان‌دهنده برقراری اتصال قابل قبول بین زیرلایه و لایه اول و همچنین بین لایه‌ها بوده و دیواره عاری از عیوب جوشکاری مانند ترک و حفره است. تصاویر با بزرگ‌نمایی بالاتر بخش‌های مختلف دیواره در شکل‌های (۴-ب) و (۴-ج) نشان‌دهنده تشکیل فازهای ثانویه در نواحی بین‌دندریتی است. درصد این فازها در نزدیکی

زیرلایه شکل (۴-ب) بسیار کمتر از آخرین لایه شکل (۴-ج) است. تصویر بزرگ‌نمایی شده فازهای بین‌دندریتی در شکل (۴-د) نشان داده شده است. علاوه بر این، ترکیب شیمیایی فازهای مختلف نشان‌دهنده روی شکل (۴-د) در جدول (۳) آمده است. شایان ذکر است که غلظت کربن به علت محدودیت روش آنالیز طیف‌سنج انرژی در نتایج نیمه‌کمی ذکر نشده است.

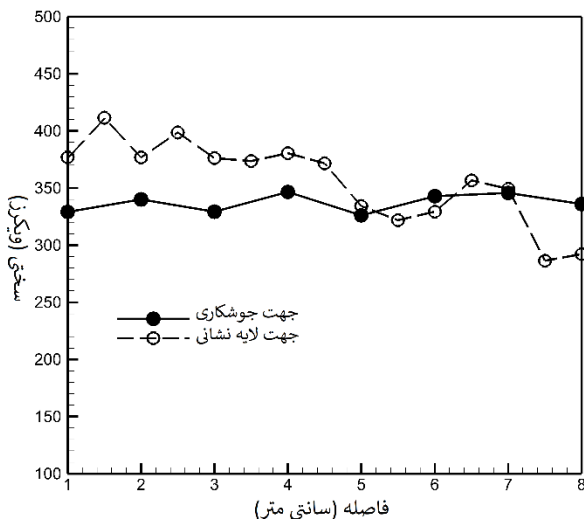


شکل ۴الف تصویر میکروسکوپی الکترونی روبشی الف: درشت ساختار دو لایه اول رسوب داده شده به همراه زیرلایه، ب: ریزساختار دیواره در نزدیکی زیرلایه، ج: ریزساختار دیواره در لایه آخر و د: تصویر بزرگ‌نمایی شده فازهای ثانویه در ناحیه بین‌دندریتی در لایه آخر

ترکیب Ni_3Nb و فاز کاربید MC در حین رسوب‌گذاری آلیاژ اینکونل ۶۲۵ با فرایند ساخت افزایشی قوس پلاسما تشکیل شد. این محققان بیان کردند که انجماد آلیاژ اینکونل ۶۲۵ با تشکیل فاز آستنیت آغاز می‌شود. در ادامه، فاز کاربید و آستنیت طی یک واکنش یوتکتیک دوتایی از فاز مذاب به وجود می‌آید. در نهایت، مذاب باقی‌مانده در یک واکنش یوتکتیک سه‌تایی به فازهای آستنیت، دلتا و لاوه تبدیل می‌شود. از آنجا که آخرین مرحله انجماد در نواحی بین‌دندریتی اتفاق می‌افتد، فازهای ثانویه نیز در این ناحیه تشکیل شده‌اند. با افزایش ارتفاع دیواره و کاهش سرعت انجماد و همچنین افزایش اندازه دندریت‌ها، میزان جدایش عناصر بیشتر شد، بنابراین غلظت فازهای ثانویه در نواحی بین‌دندریتی افزایش یافت.

ملاحظه می‌شود که زمینه (نقطه A) غنی از نیکل، کرم، مولیبدن و مقدار اندکی آهن است. بنابراین با توجه به نتایج دو آزمون پراش اشعه ایکس و طیف‌سنجی انرژی می‌توان نتیجه گرفت که زمینه آلیاژ از نوع فاز محلول جامد پایه نیکل است. در مقابل، فازهای ثانویه دارای شکل‌ها و کتراست‌های مختلف هستند. در این میان ذرات ریز سفیدرنگ (نقطه D) با غلظت بالای نیوبوم، مولیبدن، کرم و کربن به احتمال فراوان ذرات کاربید $(Nb, Cr, Cr)_3C$ هستند. علاوه بر این، یک فاز سفیدرنگ (نقطه C) با یک فاز خاکستری‌رنگ با علامت مشخصه B احاطه شده است. به منظور شناسایی ماهیت این فازها، مسیر انجمادی آلیاژ بررسی شد. تحقیقات ژو و همکاران [19] نشان داد که ترکیبات میانی مانند فاز لاوه با ساختار A_2B (A: Ni, Cr, Fe; B: Nb, Mo, Ti)، فاز دلتا با

در نزدیکی زیرلایه سبب تشکیل دندریتهای ریز شد. علاوه بر این، انجماد سریع مانع از جدایش عناصر آلیاژی و تشکیل گسترده فازهای بین دندریتی در این ناحیه شد؛ اما، با افزایش فاصله از زیرلایه علاوه بر افزایش اندازه دانه، درصد فازهای ثانویه بین دندریتی نیز افزایش یافت. صفرزاده و همکاران [18] نشان دادند که با انجام عملیات حرارتی همگن سازی و انحلال فازهای ثانویه لاوه و دلتا در زمینه، سختی دیواره آلیاژ اینکونل ۶۲۵ افزایش یافت. بنابراین، کاهش سختی با افزایش ارتفاع دیواره را می توان به افزایش اندازه دانه و همچنین خروج عناصر آلیاژی از درون دندریتهای و جدایش آنها در نواحی بین دندریتی و در نتیجه، تشکیل غیریکنواخت فازهای ثانویه نسبت داد.



شکل ۵ تغییرات سختی ویکرز با بار اعمالی ۱ کیلوگرم در دو راستای جوشکاری و رسوب گذاری

منحنی تنش کرنش نمونه های استخراج شده در راستای جوشکاری و راستای رسوب گذاری در دمای محیط، در شکل (۶) آمده است. ملاحظه می شود که مقدار استحکام تسلیم، استحکام کششی و قابلیت تغییر طول در راستای جوشکاری به ترتیب ۴۱۳ و ۶۷۷ مگاپاسکال و ۳۹ درصد است. از سوی دیگر مقدار این خواص در راستای رسوب گذاری به ترتیب برابر با ۳۸۷ و ۶۲۳ مگاپاسکال و ۴۸ درصد اندازه گیری شد. با مقایسه این نتایج مشاهده می شود که مقدار استحکام تسلیم و استحکام کششی در جهت جوشکاری به ترتیب در حدود ۶/۷ و ۸/۶ درصد بالاتر از راستای رسوب گذاری است. با

تشکیل فاز لاوه در ساختار دیواره تولید شده با فرایند جوشکاری قوسی با الکترو دنگستن و گاز محافظ با وانگ و همکارانش [17] نیز تأیید شده است. باتوجه به آنچه بیان شد، می توان مشاهده کرد که مجموع درصد اتمی عناصر کرم، نیکل و آهن در نقطه C برابر با ۶۴/۴ و مجموع درصد اتمی عناصر نیوم، مولیبدن و تیتانیوم ۳۵/۶ درصد است. نسبت این دو مقدار مطابق نسبت آنها در فاز لاوه با فرمول A_2B است. از سوی دیگر، این دو مقدار در نقطه B به ترتیب برابر با ۸۱/۷ و ۱۸/۳ درصد اتمی بود که مشابه ترکیب فاز دلتا با فرمول $(Ni, Cr, Fe)_3(Nb, Mo)$ است. درصد حجمی فازهای ثانویه با استفاده از نرم افزار آنالیز تصاویر متالوگرافی Image J در شکل (۴-ج) در حدود ۳/۵ درصد محاسبه شد که کمتر از حد تشخیص آنالیز پراش اشعه ایکس است. بنابراین می توان نتیجه گرفت که علاوه بر فاز محلول جامد پایه نیکل، فازهای دلتا، لاوه و کاربید نیز در ساختار دیواره تشکیل شده است؛ اما به دلیل پایین بودن درصد آنها از طریق آنالیز پراش اشعه ایکس شناسایی نشدند.

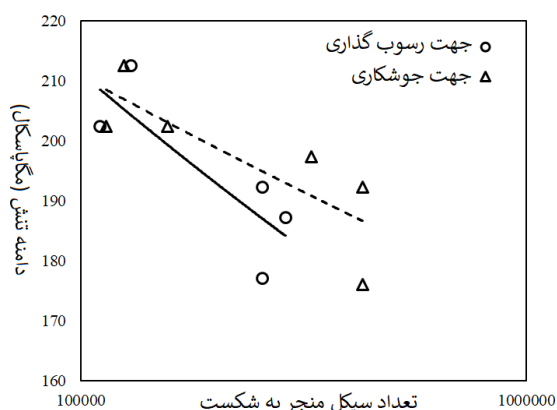
جدول ۳ ترکیب شیمیایی فازهای مختلف نشان داده شده روی

شکل (۴-د)

ناحیه آنالیز شده	ترکیب شیمیایی (درصد اتمی)					
	Ti	Mo	Nb	Ni	Fe	Cr
نقطه A	---	۷/۱	۵/۱	۶۰/۶	۲/۴	۲۴/۸
نقطه B	---	۸/۹	۹/۴	۵۸/۵	۰/۴	۲۲/۸
نقطه C		۱۵/۲	۲۰/۴	۴۴/۱	۱/۶	۱۸/۷
نقطه D	۳/۴	۵/۹	۴۹/۱	۲۷/۴	۰/۸	۱۲/۴

شکل (۵) تغییرات سختی در دو راستای جوشکاری و رسوب گذاری را نشان می دهد. ملاحظه می شود که در راستای جوشکاری، به دلیل یکنواخت بودن ریزساختار، مقدار سختی نیز ثابت است. اما در راستای رسوب گذاری، مقدار سختی نوسانات بیشتری داشته و با افزایش فاصله از زیرلایه کاهش یافته است. نوسانات سختی را می توان به تغییر ریزساختار در هر پاس نسبت داد. علاوه بر این، استحکام دهی آلیاژ اینکونل ۶۲۵ عموماً با مکانیسم محلول جامد انجام می شود. همان طور که نشان داده شد، سرعت بالای سرد شدن

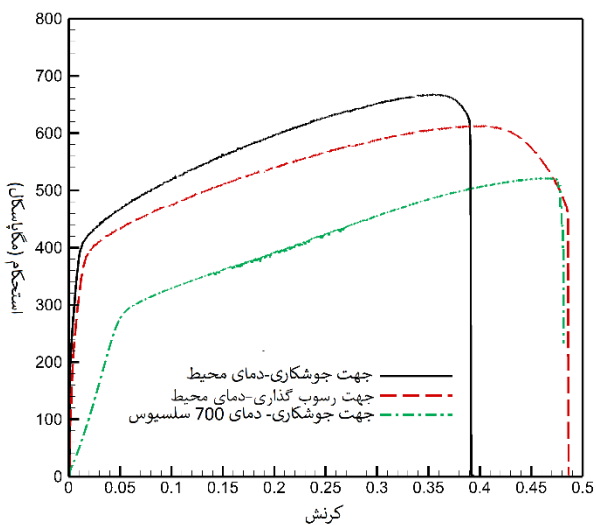
تنش تسلیم دیواره بود، تعداد سیکل منجر به شکست در تمامی نمونه‌ها بیشتر از 10^5 و در محدوده خستگی سیکل بالا قرار گرفت. همان‌گونه که در این شکل مشاهده می‌شود، در محدوده دامنه تنش انتخابی، رفتار خستگی دیواره در دامنه تنش‌های بالا تفاوت چندانی ندارد و تعداد سیکل‌های منجر به شکست در هر دو جهت تقریباً یکسان است. اما با کاهش دامنه تنش، تعداد سیکل‌های منجر به شکست در راستای جوشکاری افزایش می‌یابد و دیواره از خود رفتار خستگی بهتری نشان می‌دهد. این امر احتمالاً به دلیل استحکام تسلیم بالاتر و بنابراین پایین‌تر بودن مقدار تغییر شکل پلاستیک در هر سیکل در راستای جوشکاری است که در نهایت سبب افزایش مجموع تعداد سیکل منجر به شکست شده است. به منظور تأیید دلیل بیان‌شده، مقدار دمای نمونه‌ها در ناحیه سنجه در سرتاسر آزمون خستگی اندازه‌گیری شد. اندازه‌گیری دما با این فرض انجام شد که اگر در حین انجام آزمون در نمونه‌ها تغییر شکل پلاستیک اتفاق می‌افتد، بخشی از انرژی تغییر شکل به صورت گرما آزاد و سبب افزایش دمای نمونه‌ها می‌شود.



شکل ۷ نتایج آزمون خستگی دیواره تولیدی در دو جهت راستای جوشکاری و راستای رسوب‌گذاری در قالب منحنی تنش تعداد سیکل منجر به شکست (S-N)

شکل (۸) منحنی تغییرات دمای نمونه‌های استخراج‌شده در راستای جوشکاری و عمود بر راستای جوشکاری بارگذاری شده در دو دامنه تنش مختلف را نشان می‌دهد. مشاهده می‌شود که با گذشت حدود ۱۰ هزار سیکل، دمای

افزایش دمای آزمون تا 700°C درجه سلسیوس، مقدار استحکام تسلیم و استحکام کششی در راستای جوشکاری تا مقادیر ۲۷۵ و ۵۲۱ مگاپاسکال کاهش و مقدار قابلیت تغییر طول تا ۴۷ درصد افزایش یافت. علاوه بر این، افزایش دما سبب کاهش قابل توجه مدول الاستیک شد. شایان ذکر است که حداقل استحکام تسلیم، استحکام کششی و قابلیت تغییر طول مورد نیاز آلیاژ اینکونل ۶۲۵ تولیدشده با فرایند ساخت افزایشی ذوب انتخابی لیزر مطابق استاندارد ASTM F3056 [26] به ترتیب برابر با ۲۷۵ و ۴۸۵ مگاپاسکال و ۳۰ درصد است. بنابراین، همان‌گونه که ملاحظه می‌شود، خواص کششی دیواره تولیدی نه تنها در دمای محیط، بلکه در دمای 700°C درجه سلسیوس نیز بالاتر از حداقل‌های مورد نیاز در این استاندارد است. بنابراین، اگر استاندارد ASTM F3056 مبنای کاربرد آلیاژ اینکونل ۶۲۵ تولیدشده با فرایند ساخت افزایشی باشد، با اطمینان کامل می‌توان از دیواره‌های تولیدی در این پژوهش استفاده کرد.

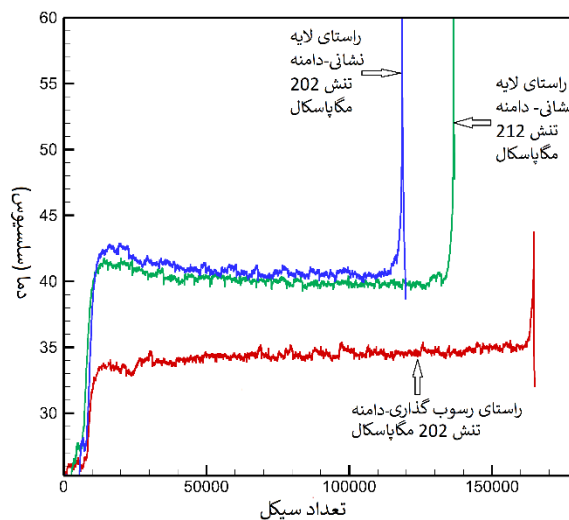


شکل ۶ منحنی تنش کرنش نمونه‌های استخراج‌شده در راستای جوشکاری و راستای رسوب‌گذاری در دمای محیط و دمای 700°C درجه سلسیوس

نتایج آزمون خستگی دیواره تولیدی، در دو جهت راستای جوشکاری و راستای رسوب‌گذاری، در قالب منحنی تنش تعداد سیکل منجر به شکست (S-N) در شکل (۷) ارائه شده است. به دلیل آنکه مقدار دامنه تنش انتخابی کمتر از $2/3$

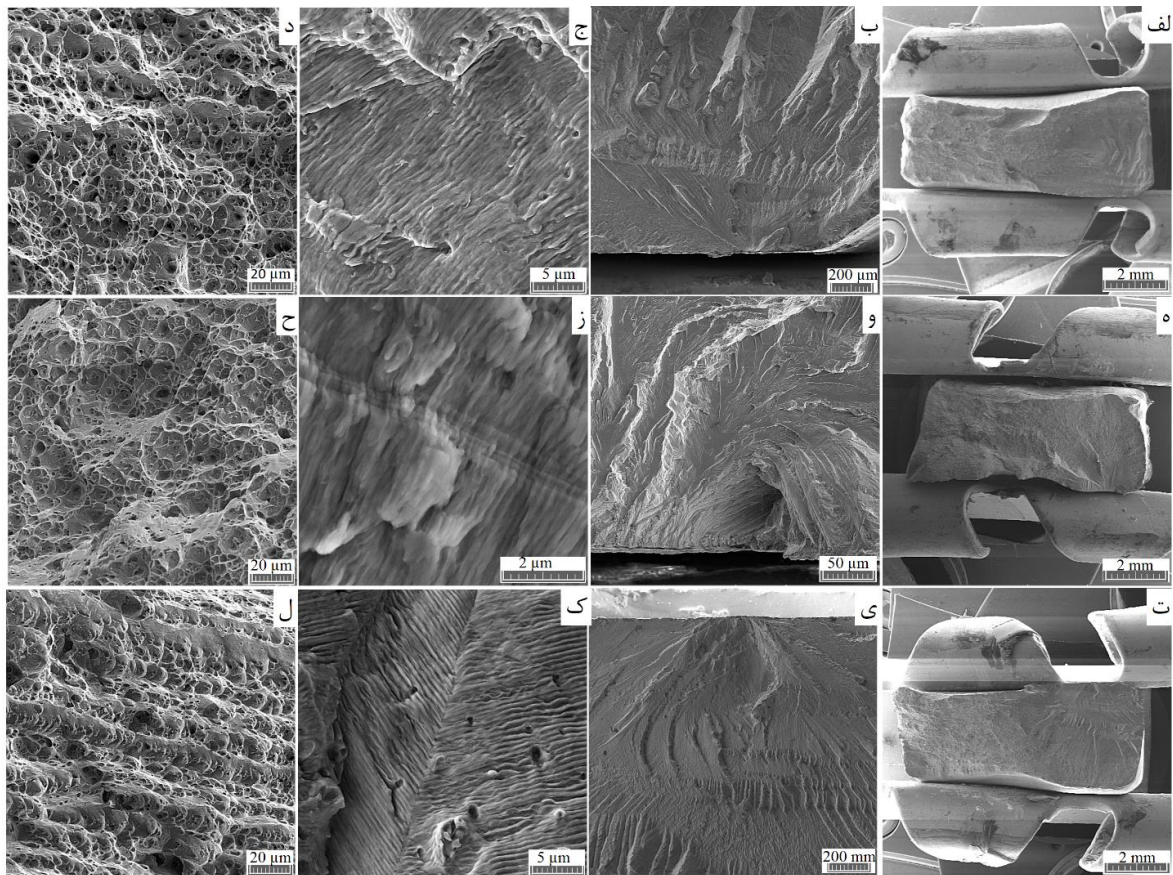
شکل (۹) سطوح شکست نمونه‌های آزمون خستگی را نشان می‌دهد. نمای کلی از سطح شکست نمونه استخراج شده در راستای رسوب‌گذاری که در دامنه تنش ۲۰۲ مگاپاسکال شکسته شده است، در شکل (۹-الف) آمده است. نواحی مختلف شکست شامل ناحیه جوانه‌زنی، رشد پایدار و شکست نهایی به‌وضوح در تصویر قابل تشخیص است. تصاویر با بزرگ‌نمایی بالاتر این نواحی در شکل‌های ۹ب تا ۹د ارائه شده است. تصاویر سطح شکست نمونه‌های بارگذاری شده با دامنه تنش ۱۷۵ مگاپاسکال در راستای رسوب‌گذاری و راستای جوشکاری نیز به‌ترتیب در شکل‌های ۹ه تا ۹ح و ۹ت تا ۹ل آمده است. ملاحظه می‌شود که در تمامی نمونه‌ها، جوانه‌زنی ترک از سطح و یک نقطه انجام شده است. جوانه‌زنی سطحی ترک‌ها بیانگر عاری بودن دیواره تولیدی از عیوبی مانند ترک و حفره است. زیرا حضور این عیوب می‌تواند به‌عنوان منشأ جوانه‌زنی ترک عمل کند. نتایج تحقیقات پیشین در زمینه بررسی رفتار خستگی دیواره‌های تولیدی آلیاژ اینکونل ۶۲۵ با فرایند ذوب بستر پودر با لیزر نشان داد که حضور عیوب مانند حفرات به جوانه‌زنی ترک در نواحی داخلی آزمون‌ها منجر شده بود [24]. پس از جوانه‌زنی، رشد پایدار ترک با تشکیل خطوط ساحلی (Striations) انجام شده و با رسیدن اندازه آن به حد بحرانی، شکست نهایی با مکانیسم شکست نرم و تشکیل حفرات در سطح شکست اتفاق افتاده است. با جمع‌بندی نتایج، ملاحظه می‌شود که ریزساختار دیواره‌های تولیدی از جنس آلیاژ اینکونل ۶۲۵ به‌روش ساخت افزایشی مبتنی بر سیم و قوس در جهات مختلف دارای اندکی ناهمگنی است که سبب تغییر خواص کششی، سختی و مقاومت به خستگی شده است. در تحقیقات پیش رو این ناهمگنی را می‌توان به روش‌های مختلف مانند کنترل متغیرهای تولید یا عملیات حرارتی پس از تولید برطرف کرد

نمونه‌های راستای رسوب‌گذاری تا محدوده ۴۰ تا ۴۳ درجه سلسیوس افزایش یافته و تقریباً تا انتهای فرایند ثابت مانده است. علاوه بر این، تغییر دامنه تنش تأثیر چندانی بر دمای نمونه‌ها نداشته است.



شکل ۸ منحنی تغییرات دمای نمونه‌های استخراج شده در راستای جوشکاری و عمود بر راستای جوشکاری در حین آزمون خستگی دو دامنه تنش مختلف

شایان ذکر است که تمامی آزمون‌های خستگی در زمان ۲۰ روز و در بازه زمانی ۱۷ فروردین ماه تا ۶ اردیبهشت ماه در تهران انجام شد و به‌طور میانگین، مدت آزمون هر نمونه یک روز کاری بود. دمای هوا نیز در روزهای مختلف و در بازه زمانی آزمون بین ۱۲ تا ۱۷ درجه سلسیوس متغیر بود. بنابراین اختلاف اندک در دمای اندازه‌گیری شده در نمونه‌های راستای رسوب‌گذاری احتمالاً به دلیل تغییر دمای هوا در روزهای مختلف بوده است. به‌علاوه، افزایش شدید دما در انتهای آزمون احتمالاً به دلیل تغییر شکل شدید ایجاد شده در مرحله شکست نهایی آزمون‌هاست. ازسوی دیگر، بیشینه دمای نمونه در راستای جوشکاری در حدود ۳۳ درجه سلسیوس ثبت شد که به‌میزان قابل توجهی کمتر از نمونه‌های قبلی است. همان‌گونه که بیان شد، این اختلاف دما احتمالاً به دلیل بالاتر بودن تنش تسلیم دیواره تولیدی در راستای جوشکاری و تغییر شکل پلاستیک کمتر در مرحله رشد پایدار ترک است.



شکل ۹ سطح شکست نمونه‌های آزمون خستگی به همراه تصاویر با بزرگ‌نمایی مختلف نواحی مختلف شکست شامل ناحیه جوانه‌زنی ترک، رشد پایدار و شکست نهایی در نمونه‌های الف تا د: استخراج‌شده در راستای رسوب‌گذاری و بارگذاری شده با دامنه تنش ۲۰۲ مگاپاسکال، ه تا ح: استخراج‌شده در راستای رسوب‌گذاری و بارگذاری شده با دامنه تنش ۱۷۵ مگاپاسکال، ت تا ل: استخراج‌شده در راستای جوشکاری و بارگذاری شده با دامنه تنش ۱۷۵ مگاپاسکال

نتیجه‌گیری

دما بالا نشان داد که افزایش دما سبب کاهش استحکام کششی و استحکام تسلیم و افزایش شکل‌پذیری آلیاژ شد.

۳- با مقایسه نتایج آزمون کشش با استاندارد مربوط به حداقل خواص قابل قبول قطعات ساخت افزایشی از جنس آلیاژ اینکونل ۶۲۵ با فرایند ذوب بستر پودر با پرتو لیزر مشخص شد که قطعات تولیدشده از طریق روش ساخت افزایشی مبتنی بر سیم و قوس امکان کاربرد صنعتی دارد.

۴- نتایج آزمون خستگی نشان داد که رفتار خستگی آلیاژ در راستای جوشکاری اندکی بهتر از راستای رسوب‌گذاری

۱- در فرایند ساخت افزایشی مبتنی بر سیم و قوس آلیاژ اینکونل ۶۲۵، ریزساختار پس از انجماد حاوی دانه‌های دندریتی بود و با افزایش ارتفاع دیواره و فاصله گرفتن از زیرلایه، اندازه دندریت‌ها افزایش یافت. علاوه بر این، جدایش عناصر نیکل، کروم، نیوبوم و کربن در نواحی بین دندریتی سبب تشکیل فازهای ثانویه کاربید نیوبوم، لایه و دلتا شد.

۲- خواص مکانیکی دیواره تولیدشده شامل استحکام کششی، استحکام تسلیم و سختی در راستای جوشکاری و رسوب‌گذاری متفاوت است. نتایج آزمون کشش

از رشد پایدار ترک، شکست نهایی با مکانیسم نرم اتفاق افتاد. بررسی‌های سطوح شکست خستگی نیز نشان داد که شکست در تمامی نمونه‌ها از سطح آغاز شد و پس

مراجع

1. Altıparmak, S.C., Yardley, V.A., Shi, Z. and Lin, J., "Challenges in additive manufacturing of high-strength aluminium alloys and current developments in hybrid additive manufacturing", *International Journal of Lightweight Materials and Manufacture*, Vol. 4, pp. 246-261, (2021).
2. Huang, W., Chen, S., Xiao, J., Jiang, X. and Jia, Y., "Laser wire-feed metal additive manufacturing of the Al alloy", *Optics & Laser Technology*, Vol. 134, 106627, pp. 1-9, (2021).
3. Mishra, G.K., Paul, C.P., Rai, A.K., Agrawal, A.K., Rai, S.K. and Bindra, K.S., "Experimental investigation on Laser Directed Energy Deposition based additive manufacturing of Al₂O₃ bulk structures", *Ceramics International*, Vol. 47, pp. 5708-5720, (2021).
4. Molina, C., Araujo, A., Bell, K., Mendez, P.F. and Chapetti, M., "Fatigue life of laser additive manufacturing repaired steel component", *Engineering Fracture Mechanics*, Vol. 241, 107417, pp. 1-11, (2021).
5. Ning, J., Yu, Z.S., Sun, K., Hu, M.J., Zhang, L.X., Zhang, Y.B. and Zhang, L.J., "Comparison of microstructures and properties of X80 pipeline steel additively manufactured based on laser welding with filler wire and cold metal transfer", *Journal of Materials Research and Technology*, Vol. 10, pp. 752-768, (2021).
6. Oliveira, J.P., LaLonde, A.D. and Ma, J., "Processing parameters in laser powder bed fusion metal additive manufacturing", *Materials & Design*, Vol. 193, 108762, pp. 1-12, (2020).
7. Rovira, D.S., Nielsen, H.M., Taboryski, R. and Bunea, A.I., "Additive manufacturing of polymeric scaffolds for biomimetic cell membrane engineering", *Materials & Design*, Vol. 201, 109486, pp. 1-11, (2021).
8. Wei, W., Zhang, Q., Wu, W., Cao, H., Shen, J., Fan, S. and Duan, X., "Agglomeration-free nanoscale TiC reinforced titanium matrix composites achieved by in-situ laser additive manufacturing", *Scripta Materialia*, Vol. 187, pp. 310-316, (2020).
9. Yu, Q., Wang, C., Zhao, Z., Dong, C. and Zhang, Y., "New Ni-based superalloys designed for laser additive manufacturing", *Journal of Alloys and Compounds*, Vol. 86, 157979, pp.1-12, (2020).
10. Zhang, K., He, R., Ding, G., Bai, X. and Fang, D., "Effects of fine grains and sintering additives on stereolithography additive manufactured Al₂O₃ ceramic", *Ceramics International*, Vol. 47, pp. 2303-2310, (2021).
11. Todaro, C.J., Easton, M.A., Qiu, D., Brandt, M., StJohn, D.H. and Qian, M., "Grain refinement of stainless steel in ultrasound-assisted additive manufacturing", *Additive Manufacturing*, Vol. 37, 101632, (2021).
12. Tarasov, S.Y., Filippov, A.V., Shamarin, N.N., Fortuna, S.V., Maier, G.G. and Kolubaev, E.A., "Microstructural evolution and chemical corrosion of electron beam wire-feed additively manufactured AISI 304 stainless steel", *Journal of Alloys and Compounds*, Vol. 803, pp. 364-370, (2019).
13. Zhang, G., Xiong, H., Yu, H., Qin, R., Liu, W. and Yuan, H., "Microstructure evolution and mechanical properties of wire-feed electron beam additive manufactured Ti-5Al-2Sn-2Zr-4Mo-4Cr alloy with different

- subtransus heat treatments", *Materials & Design*, Vol. 195, 109063, pp. 1-12, (2020).
14. Bhuvanesh Kumar, M. and Sathiya, P., "Methods and materials for additive manufacturing: A critical review on advancements and challenges", *Thin-Walled Structures*, Vol. 159, 107228, pp. 1-42, (2020).
 15. Fu, R., Tang, S., Lu, J., Cui, Y., Li, Z., Zhang, H., Xu, T., Chen, Z. and Liu, C., "Hot-wire arc additive manufacturing of aluminum alloy with reduced porosity and high deposition rate", *Materials & Design*, Vol. 199, 109370, pp. 1-13, (2021).
 16. Jafari, D., Vaneker, T.H.J. and Gibson, I., "Wire and arc additive manufacturing: Opportunities and challenges to control the quality and accuracy of manufactured parts", *Materials & Design*, Vol. 202, 109471, pp. 1-50, (2021).
 17. Yangfan, W., Xizhang, C. and Chuanchu, S., "Microstructure and mechanical properties of Inconel 625 fabricated by wire-arc additive manufacturing", *Surface and Coatings Technology*, Vol. 374, pp. 116-123, (2019).
 18. Safarzade, A., Sharifitabar, M. and Shafiee Afarani, M., "Effects of heat treatment on microstructure and mechanical properties of Inconel 625 alloy fabricated by wire arc additive manufacturing process", *Transactions of Nonferrous Metals Society of China*, Vol. 30, pp. 3016-3030, (2020).
 19. Xu, F., Lv, Y., Liu, Y., Shu, F., He, P. and Xu, B., "Microstructural Evolution and Mechanical Properties of Inconel 625 Alloy during Pulsed Plasma Arc Deposition Process", *Journal of Materials Science & Technology*, Vol. 29, pp. 480-488, (2013).
 20. Dhinakaran, V., Ajith, J., Fathima Yasin Fahmidha, A., Jagadeesha, T., Sathish, T. and Stalin, B., "Wire Arc Additive Manufacturing (WAAM) process of nickel based superalloys – A review", *Materials Today: Proceedings*, Vol. 21, pp. 920-925, (2020).
 21. Wang, J.F., Sun, Q.J., Wang, H., Liu, J.P. and Feng, J.C., "Effect of location on microstructure and mechanical properties of additive layer manufactured Inconel 625 using gas tungsten arc welding", *Materials Science and Engineering: A*, Vol. 676, pp. 395-405, (2016).
 22. ASTM B443-19, "Standard Specification for Nickel-Chromium-Molybdenum-Columbium Alloy and Nickel-Chromium-Molybdenum-Silicon Alloy Plate, Sheet, and Strip", ASTM International, West Conshohocken, PA, (2019).
 23. ASTM E21-20, "Standard Test Methods for Elevated Temperature Tension Tests of Metallic Materials", ASTM International, West Conshohocken, PA, (2020).
 24. Koutiri, I., Pessard, E., Peyre, P., Amlou, O. and De Terris, T., "Influence of SLM process parameters on the surface finish, porosity rate and fatigue behavior of as-built Inconel 625 parts", *Journal of Materials Processing Technology*, Vol. 255, pp. 536-546, (2018).
 25. Kou, S. "Welding Metallurgy: Basic Solidification Concepts", John Wiley & Sons, Inc., Hoboken, New Jersey, pp. 143-169, (2002).
 26. ASTM, ASTM F3056-14e1, "Standard Specification for Additive Manufacturing Nickel Alloy (UNS N06625) with Powder Bed Fusion", ASTM International, West Conshohocken, PA, (2014).